

Hiver 2018

# Analyse d'images IMN 259

Transformée de Fourier  
appliquée à l'imagerie numérique

Par  
Pierre-Marc Jodoin

1

---

---

---

---

---

---

---

---

---

---

## Transformée de Fourier 2D

Cas 1D

$$\mathfrak{F}\{f(x)\} = F(u) = \int_{-\infty}^{\infty} f(x) e^{-j2\pi ux} dx$$

$$\mathfrak{F}^{-1}\{F(u)\} = f(x) = \int_{-\infty}^{\infty} F(u) e^{j2\pi ux} du$$

Cas 2D

$$\mathfrak{F}\{f(x,y)\} = F(u,v) = \int_{-\infty}^{\infty} \int_{-\infty}^{\infty} f(x,y) e^{-j2\pi ux} e^{-j2\pi vy} dx dy$$

$$\mathfrak{F}^{-1}\{F(u,v)\} = f(x,y) = \int_{-\infty}^{\infty} \int_{-\infty}^{\infty} F(u,v) e^{j2\pi ux} e^{j2\pi vy} du dv$$

où  $x,y$  sont des coordonnées spatiales  
et  $u,v$  des coordonnées spectrales

$$F(u,v) = \text{Re}\{F(u,v)\} + j \text{Im}\{F(u,v)\} = R(u,v) + jI(u,v)$$

$$F(u,v) = |F(u,v)| e^{j\theta(u,v)} \quad \text{(Réelle) (Imaginaire)}$$

$$\theta(u,v) = \arctan(I(u,v)/R(u,v)) \quad \text{: Phase}$$

$$|F(u,v)| = \sqrt{R(u,v)^2 + I(u,v)^2} \quad \text{: Spectre d'amplitude}$$

$$|F(u,v)|^2 = R(u,v)^2 + I(u,v)^2 \quad \text{: Spectre de puissance}$$

2

---

---

---

---

---

---

---

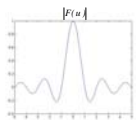
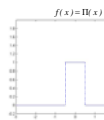
---

---

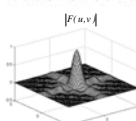
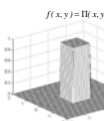
---

## Transformée de Fourier 2D

Exemple, la fonction « porte »



$$\mathfrak{F}\{\Pi(x)\} = \frac{\sin(\pi u)}{\pi u}$$



$$\mathfrak{F}\{\Pi(x,y)\} = \frac{\sin(\pi u)}{\pi u} \frac{\sin(\pi v)}{\pi v}$$

Carte de profondeur :  
 $f(x,y)$  et  $F(u,v)$  visualisés  
à l'aide d'images 2D.



3

---

---

---

---

---

---

---

---

---

---

## TF d'un signal discrétisé

4

---

---

---

---

---

---

---

---

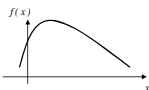
## TF discrète 1D

Cas continu

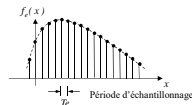
$$F(u) = \int_{-\infty}^{\infty} f(x) e^{-j2\pi ux} dx$$

$$f(x) = \int_{-\infty}^{\infty} F(u) e^{j2\pi ux} du$$

Cas discret



Échantillonneur  
(appareil numérique  
photo, vidéo, audio)



$$F_s(u) = \frac{1}{N} \sum_{x=0}^{N-1} f(x) e^{-j2\pi \frac{u}{N} x}$$

$$f_s(x) = \sum_{u=0}^{N-1} F_s(u) e^{j2\pi \frac{u}{N} x}$$

$$f_s(x) = f(x) e^{j2\pi u x} \quad x = 0, 1, 2, \dots, N-1$$

(souvent  $u_0 = 0$ )  
 $x = 0, 1, 2, \dots, N-1$   
 $u = 0, 1, 2, \dots, N-1$

5

---

---

---

---

---

---

---

---

## TF discrète 1D

Cas continu

$$F(u) = \int_{-\infty}^{\infty} f(x) e^{-j2\pi ux} dx$$

$$f(x) = \int_{-\infty}^{\infty} F(u) e^{j2\pi ux} du$$

Cas discret

Pour alléger la notation et rester conforme avec le livre de Gonzalez et Woods on dira désormais:

$$F(u) = \frac{1}{N} \sum_{x=0}^{N-1} f(x) e^{-j2\pi \frac{u}{N} x}$$

$$f(x) = \sum_{u=0}^{N-1} F(u) e^{j2\pi \frac{u}{N} x}$$

6

---

---

---

---

---

---

---

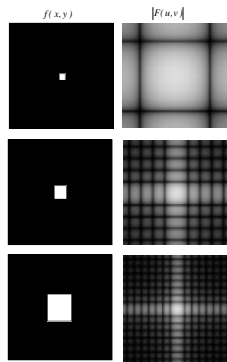
---



### TF discrète

Application de la propriété du changement d'échelle vue au chapitre précédent.

$$\mathfrak{F}[f(ax, by)] = \frac{1}{|a||b|} \mathfrak{F}\left(\frac{u}{a}, \frac{v}{b}\right)$$



10

---

---

---

---

---

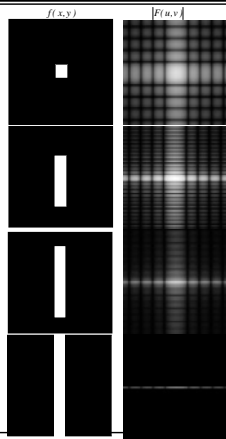
---

---

---

### TF discrète

Application de la propriété du changement d'échelle vue au chapitre précédent.



11

---

---

---

---

---

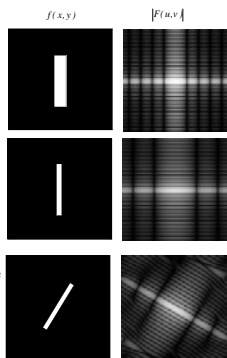
---

---

---

### TF discrète

Changement d'échelle



Rotation dans le domaine spatial = rotation dans le domaine spectral.

12

---

---

---

---

---

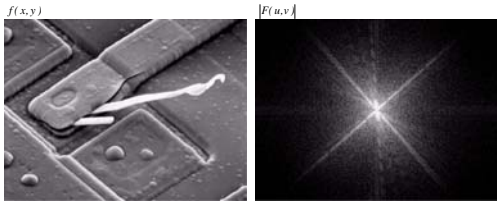
---

---

---

## TF discrète

Autre exemple, TF d'une image d'un circuit intégré



13

---

---

---

---

---

---

---

---

---

---

## Périodicité et recalage cyclique

14

---

---

---

---

---

---

---

---

---

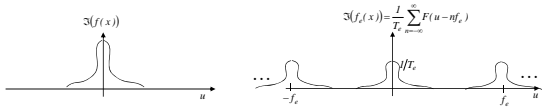
---

## Périodicité et recalage cyclique

Rappel échantillonnage 1D



Échantillonner un signal spatial revient à le dupliquer à l'infini dans le domaine spectral



15

---

---

---

---

---

---

---

---

---

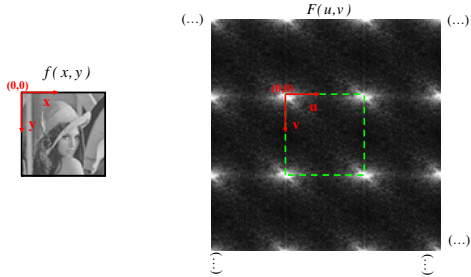
---

## Périodicité et recalage cyclique

### Périodicité

Puisqu'une image numérique est un signal échantillonné ( $T_x=1 \text{ pixel}$ ) son spectre fréquentiel est **périodique**

$$F(u,v) = F(u+N,v) = F(u,v+M) = F(u+N,v+M) = \dots$$




---

---

---

---

---

---

---

---

## Périodicité et recalage cyclique

### Périodicité

Puisqu'une image numérique est un signal échantillonné ( $T_x=1 \text{ pixel}$ ) son spectre fréquentiel est **périodique**

$$F(u,v) = F(u+N,v) = F(u,v+M) = F(u+N,v+M) = \dots$$

De façon équivalente, puisque  $F(u,v)$  est un signal échantillonné (c'est un **spectre de raies**), alors l'image spatiale  $f(x,y)$  est aussi un signal **périodique**

$$f(x,y) = f(x+N,y) = f(x,y+M) = f(x+N,y+M) = \dots$$

17

---

---

---

---

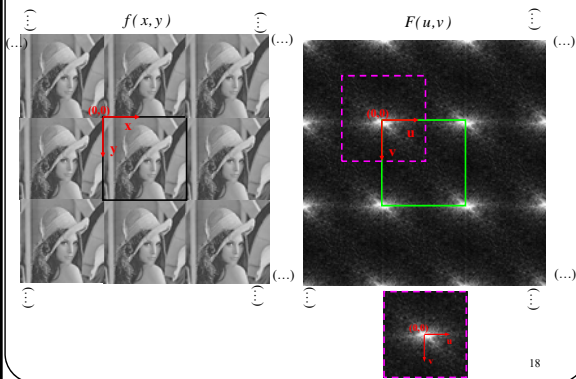
---

---

---

---

## Périodicité et recalage cyclique



18

---

---

---

---

---

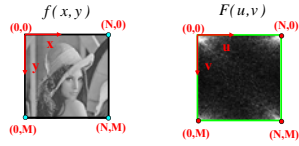
---

---

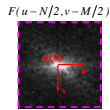
---

## Périodicité et recalage cyclique

Puisque le centre géométrique  $(0,0)$  d'une image est [presque] toujours centré sur le pixel supérieur gauche, alors l'origine  $(0,0)$  de  $F(u,v)$  est aussi centrée en haut à gauche.



Pour ramener l'origine de  $F(u,v)$  au centre de l'image, il faut traduire  $F(u,v)$  par  $(N/2, M/2)$ . C'est ce qu'on appelle un **recalage cyclique**.



19

---

---

---

---

---

---

---

---

---

---

---

---

## Périodicité et recalage cyclique

Suivant la propriété de la translation exposée au chapitre précédent:

$$F(u-a, v-b) \Leftrightarrow f(x, y) e^{j2\pi(\frac{ax}{N} + \frac{by}{M})}$$

Puisque  $a=N/2$  et  $b=M/2$  alors

$$\begin{aligned} F(u-N/2, v-M/2) &\Leftrightarrow f(x, y) e^{j2\pi(\frac{Nx}{2N} + \frac{My}{2M})} \\ &= f(x, y) e^{j\pi(x+y)} \\ &= f(x, y) (\cos(\pi(x+y)) + j \sin(\pi(x+y))) \\ &= f(x, y) \cos(\pi(x+y)) \\ &= f(x, y) (-1)^{x+y} \end{aligned}$$

car

$$\cos(\pi(x+y)) = \begin{cases} 1 & \text{lorsque } x+y \text{ est pair} \\ -1 & \text{lorsque } x+y \text{ est impair} \end{cases}$$

20

---

---

---

---

---

---

---

---

---

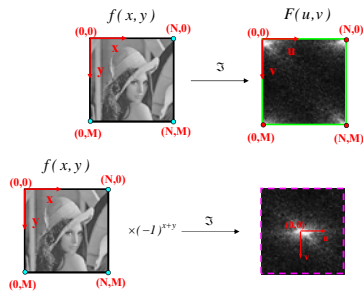
---

---

---

## Périodicité et recalage cyclique

En conclusion, pour faire un recalage cyclique de la transformée de Fourier 2D d'une image  $f(x,y)$ , on a qu'à multiplier tous ses pixels par  $(-1)^{x+y}$



21

---

---

---

---

---

---

---

---

---

---

---

---

# Convolution discrète

22

---

---

---

---

---

---

---

---

# Convolution discrète

**La convolution**

**Cas continu**

$$(f * h)(x) = \int_{-\infty}^{\infty} f(t)h(x-t)dt \quad 1D$$

$$(f * h)(x, y) = \int_{-\infty}^{\infty} \int_{-\infty}^{\infty} f(t, r)h(x-t, y-r)dt dr \quad 2D$$

**Cas discret**

$$(f * h)(x) = \sum_{t=-\infty}^{\infty} f(t)h(x-t) \quad 1D$$

$$(f * h)(x, y) = \sum_{r=-\infty}^{\infty} \sum_{t=-\infty}^{\infty} f(t, r)h(x-t, y-r) \quad 2D$$

**Rappel théorème de la convolution**

$$\mathfrak{F}(f * h)(x) = F(u)H(u) \quad \text{et} \quad \mathfrak{F}^{-1}(F * H)(u) = f(x)h(x) \quad 1D$$

Note: ce théorème est valable pour les cas continu et discret

23

---

---

---

---

---

---

---

---

# Convolution discrète

**Cas 2D**

$$(f * h)(x, y) = \sum_r \sum_t f(t, r)h(x-t, y-r)$$

		(0,0)		
	↓			
10	11	12	13	14
15	16	17	18	19
20	21	22	23	24
25	26	27	28	29
30	31	32	33	34
		f(x,y)		

\*

		(0,0)	
	↓		
-1	0		
1	2		
		h(x,y)	

=

-10	-11	-12	-13	-14
-5	15	17	19	21
-5	25	27	29	31
-5	35	37	39	41
-5	45	47	49	51

(ajout de zéros)

-1	0
1	2

\*

0	-1
2	1

\*

2	1
0	-1

Réflexion en X      Réflexion en Y      ← (0,0)

24

---

---

---

---

---

---

---

---



## Convolution discrète

Exemples concrets, un avant goût des filtres spatiaux

The diagram shows the convolution of an input image  $f(x,y)$  (a woman's face) with various kernels  $h(x,y)$  to produce filtered images  $(f^*h)(x,y)$ .

- Top-left:** Original image  $f(x,y)$ .
- Top-middle:** Kernel  $h(x,y) = \begin{bmatrix} 0 & 0 & 0 & 0 \\ 0 & 1 & 1 & 0 \\ 0 & 1 & 1 & 0 \\ 0 & 0 & 0 & 0 \end{bmatrix}$ . The resulting image  $(f^*h)(x,y)$  is a blurred version of the original.
- Top-right:** Kernel  $h(x,y) = \begin{bmatrix} 1 & 1 & 1 & 1 \\ 1 & 1 & 1 & 1 \\ 1 & 1 & 1 & 1 \\ 1 & 1 & 1 & 1 \end{bmatrix}$ . The resulting image  $(f^*h)(x,y)$  is a blurred version of the original.
- Bottom-left:** Kernel  $h(x,y) = \begin{bmatrix} 0 & 0 & 0 & 0 \\ 0 & 0 & 0 & 0 \\ 0 & 1 & 0 & 0 \\ 0 & 0 & 0 & 0 \end{bmatrix}$ . The resulting image  $(f^*h)(x,y)$  is a dark image with some vertical lines.
- Bottom-right:** Kernel  $h(x,y) = \begin{bmatrix} 0 & 0 & 0 & 0 \\ 0 & 1 & 1 & 0 \\ 0 & 1 & 1 & 0 \\ 0 & 0 & 0 & 0 \end{bmatrix}$ . The resulting image  $(f^*h)(x,y)$  is a blurred version of the original.

(les valeurs négatives apparaissent en noir)

---

---

---

---

---

---

---

---

---

---

## Tomographie

26

---

---

---

---

---

---

---

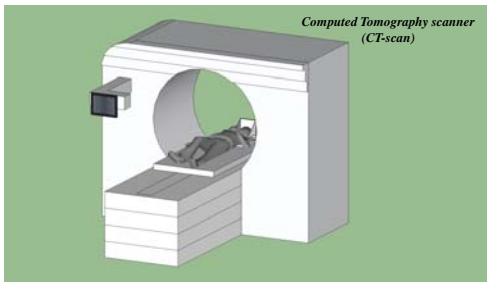
---

---

---

## Application de la TF

La tomographie



27

---

---

---

---

---

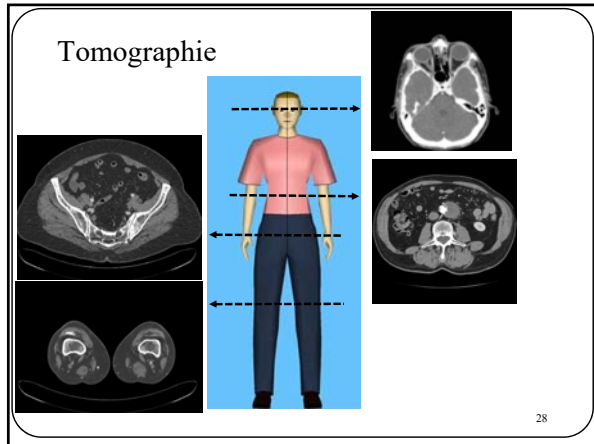
---

---

---

---

---




---



---



---



---



---



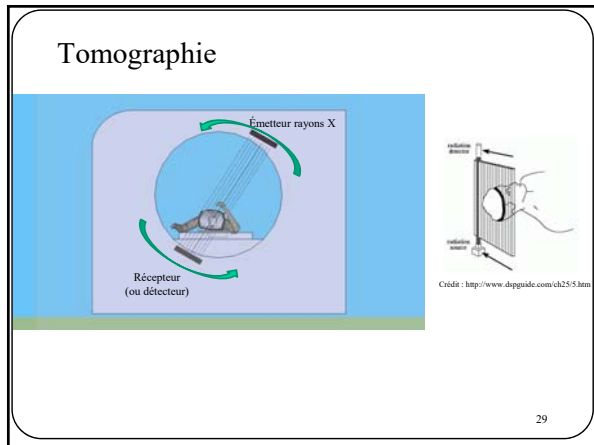
---



---



---




---



---



---



---



---



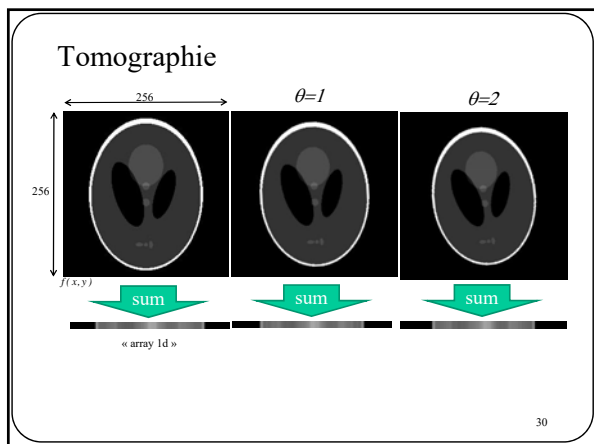
---



---



---




---



---



---



---



---



---




---



---


### Tomographie

$\theta=45$



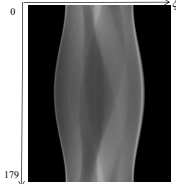
sum

$\theta=90$



sum

Transformée de Radon  
(Sinogramme)



$p(\xi, \theta)$

31

---

---

---

---

---

---

---


---

---

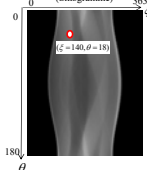
---

### Tomographie

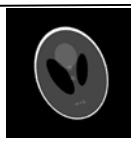
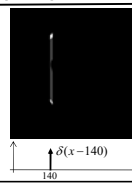
Plus formellement, pour calculer  $p(\xi = 140, \theta = 18)$



$f(x, y)$



$\xi = 140, \theta = 18$

Étape 1 : rotation de 18 degrés	Étape 2 : multiplication avec delta Dirac	Étape 3 : somme (intégrale)
	 <p><math>\delta(x-140)</math></p>	$\sum_x \sum_y$

32

---

---

---

---

---

---

---


---

---



---

### Tomographie

De façon équivalente, on peut intégrer le long d'une droite définie par  $(\xi, \theta)$



$f(x, y)$

Étape 1 : Trouver une droite de 18 degrés et décalée de 140	Étape 2 : multiplication avec delta Dirac	Étape 3 : somme (intégrale)
 <p><math>x \cos \theta + y \sin \theta = \xi</math></p>	 <p><math>f(x, y) \delta(x \cos \theta + y \sin \theta - \xi)</math></p>	$\sum_x \sum_y$

$$p(\xi, \theta) = \sum_x \sum_y f(x, y) \delta(x \cos \theta + y \sin \theta - \xi)$$

ou

$$p(\xi, \theta) = \iint f(x, y) \delta(x \cos \theta + y \sin \theta - \xi) dx dy$$

33

---

---

---

---

---

---

---

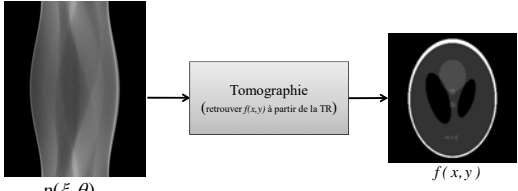
---

---

---

## Tomographie

**Transformée de Radon**



2 méthodes parmi les plus connues:  
 1. Projection inverse  
 2. Approche par TF

34

---

---

---

---

---

---

---

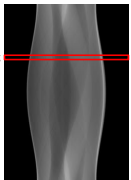
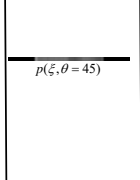
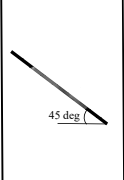
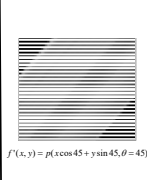
---

---

---

## Projection inverse

Projection inverse d'une seule ligne :  $\theta = 45$

Étape 1	Étape 2	Étape 3	Étape 4
 <p>45 deg</p>	 <p><math>p(\xi, \theta = 45)</math></p>	 <p>45 deg</p>	 <p><math>f'(x, y) = p(x \cos 45 + y \sin 45, \theta = 45)</math></p>

35

---

---

---

---

---

---


---

---

---

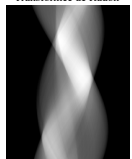
---

## Projection inverse




$f(x, y)$

Transformée de Radon



$p(\xi, \theta)$

Projection inverse pour toutes les lignes  
(Back projection)



$f'(x, y) = \int_0^{180} p(x \cos \theta + y \sin \theta, \theta) d\theta$

Crédit : [http://www.snaggledworks.com/em\\_for\\_dummies/back\\_projection.html](http://www.snaggledworks.com/em_for_dummies/back_projection.html)

36

---

---

---

---

---

---

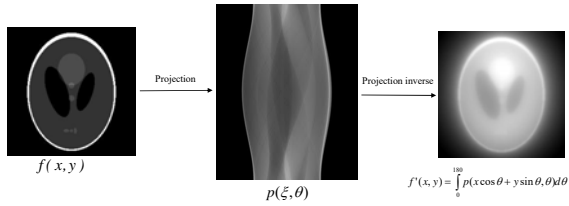
---

---

---

---

## Projection inverse



37

---

---

---

---

---

---

---

---

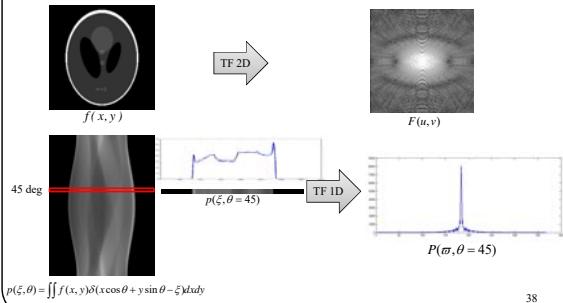
---

---

## Approche par TF

Théorème de la tranche centrale (Central Slice Theorem)

Des résultats plus précis (moins flous) peuvent être obtenus via la TF.



38

---

---

---

---

---

---

---

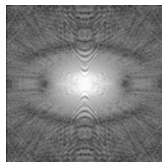
---

---

---

## Approche par TF

Théorème de la tranche centrale (Central Slice Theorem)



$$F(u, v) = \int_{-\infty}^{\infty} \int_{-\infty}^{\infty} f(x, y) e^{-j2\pi(ux+vy)} dx dy$$

---

---

---

---

---

---

---

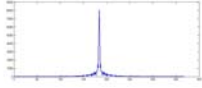
---

---

---

## Approche par TF

Théorème de la tranche centrale (Central Slice Theorem)



$$\begin{aligned}
 P(\sigma, \theta) &= \mathfrak{Z}[p(\xi, \theta)] \\
 &= \int p(\xi, \theta) e^{-j2\pi\xi\sigma} d\sigma \\
 &= \int \left( \iint f(x, y) \delta(x \cos \theta + y \sin \theta - \xi) dx dy \right) e^{-j2\pi\xi\sigma} d\sigma \\
 &= \iint f(x, y) \delta(x \cos \theta + y \sin \theta - \xi) e^{-j2\pi\xi\sigma} d\sigma dx dy
 \end{aligned}$$

En vertu des propriétés du delta de Dirac ( $f(x)\delta(x-a) = f(a)$ )

$$P(\sigma, \theta) = \iint f(x, y) e^{-j2\pi\sigma(x \cos \theta + y \sin \theta)} dx dy$$

40

---

---

---

---

---

---

---

---

---

---

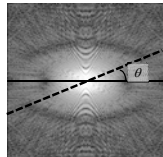
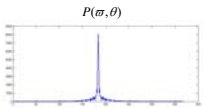
## Approche par TF

Théorème de la tranche centrale (Central Slice Theorem)

$$P(\sigma, \theta) = \iint f(x, y) e^{-j2\pi\sigma(x \cos \theta + y \sin \theta)} dx dy$$

Et en posant que  $u = \sigma \cos \theta$  et  $v = \sigma \sin \theta$ , on réalise que  $P(\sigma, \theta)$  est une droite dans l'espace fréquentiel de  $F(u, v)$

$$P(\sigma, \theta) = \iint f(x, y) e^{-j2\pi(u x + v y)} dx dy$$



$$F(u, v) = \iint f(x, y) e^{-j2\pi(u x + v y)} dx dy$$

41

---

---

---

---

---

---

---

---

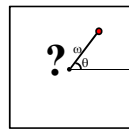
---

---

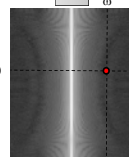
## Approche par TF



$p(\xi, \theta)$



$F(u, v)$



$P(\sigma, \theta)$

---

---

---

---

---

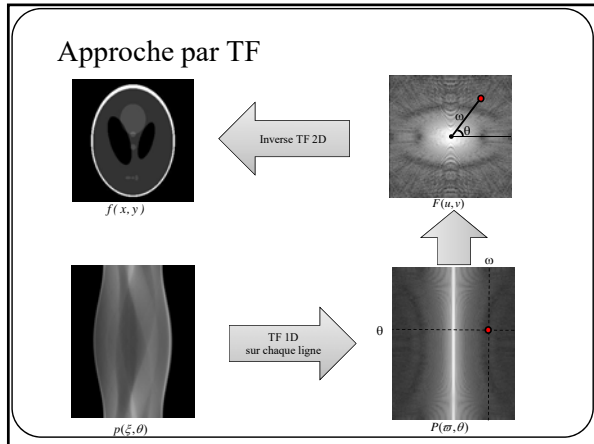
---

---

---

---

---




---

---

---

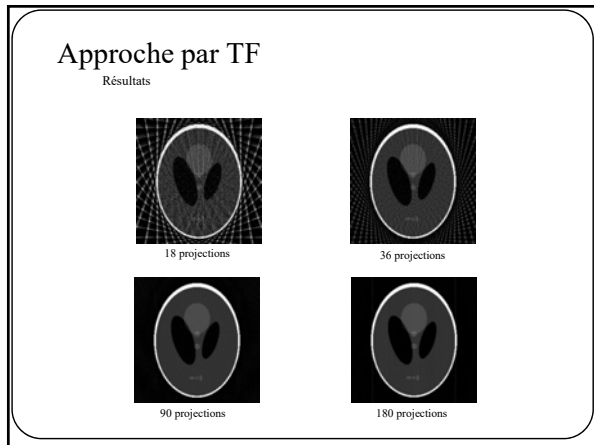
---

---

---

---

---




---

---

---

---

---

---

---

---

### Caractérisation de textures

45

---

---

---

---

---

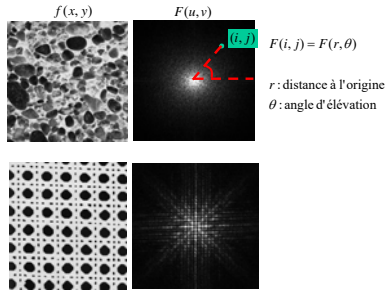
---

---

---

## Représentation des textures

Représentation **spectrale**  $\Rightarrow$  caractériser une texture sur la base de la forme de la T.F.



46

---

---

---

---

---

---

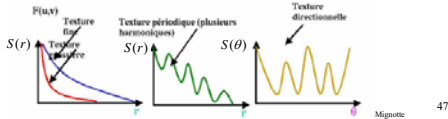
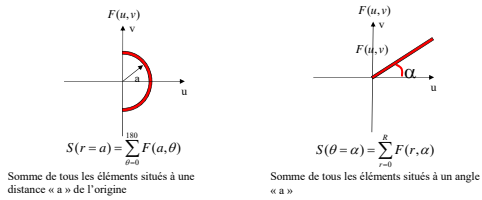
---

---

---

---

## Représentation des textures




---

---

---

---

---

---

---

---

---

---

*L'aliasing*  
(ou repliement de spectre)

48

---

---

---

---

---

---

---

---

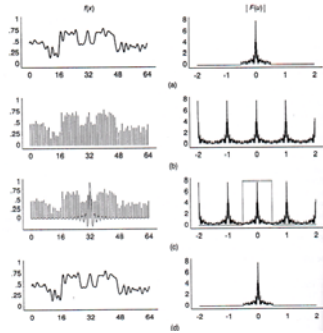
---

---



## L'aliasing

Vous vous souvenez de la théorie de l'échantillonnage?



Foley-Vandam 49

---

---

---

---

---

---

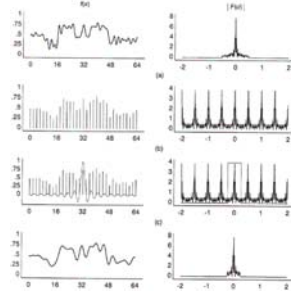
---

---

## L'aliasing

Qu'arrive-t-il si on échantillonne un signal avec une fréquence plus petite que la fréquence de Nyquist?

Repliement de spectre:  
**Aliasing**



Foley-Vandam 50

---

---

---

---

---

---

---

---

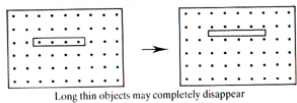
## L'aliasing

Deux définitions classiques de l'aliasing :

1. Perte d'information causée par un échantillonnage de fréquence trop basse.

1er exemple: Voir la page précédente

2e exemple:



Long thin objects may completely disappear

Alan Watt

51

---

---

---

---

---

---

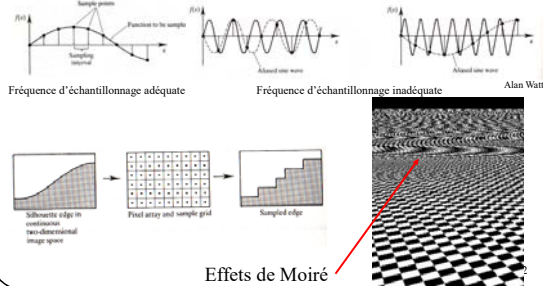
---

---

## L'aliasing

Deux définitions classiques de l'aliasing :

2. Induction de basses fréquences causée par un échantillonnage de fréquence trop basse.



---

---

---

---

---

---

---

---

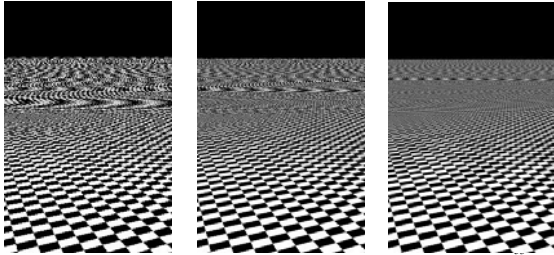
---

---

## L'aliasing

Bien qu'il soit généralement impossible de résoudre le problème de l'aliasing, on peut tout de même en masquer les effets. Comment? Parmi les nombreuses façons de lutter contre l'aliasing, il en existe deux qui reviennent souvent.

- 1: Augmenter la résolution de l'image



---

---

---

---

---

---

---

---

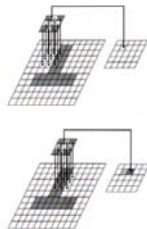
---

---

## L'aliasing

Bien qu'il soit généralement impossible de résoudre le problème de l'aliasing, on peut tout de même en masquer les effets. Comment? Parmi les nombreuses façons de lutter contre l'aliasing, il en existe deux qui reviennent souvent.

- 2: Appliquer un filtre passe-bas. C'est ce qu'on appelle un processus d'antialiasing. C'est d'ailleurs ce que le Mip Mapping fait.



Crédit : Alan Watt

54

---

---

---

---

---

---

---

---

---

---

### Les faits saillants...

1. TF d'un signal 2D échantillonné	$F(u,v) = \frac{1}{NM} \sum_{x=0}^{N-1} \sum_{y=0}^{M-1} f(x,y) e^{-j2\pi \frac{ux}{N} - j2\pi \frac{vy}{M}}$ $f(x,y) = \sum_{u=0}^{N-1} \sum_{v=0}^{M-1} F(u,v) e^{j2\pi \frac{ux}{N} + j2\pi \frac{vy}{M}}$
2. Périodicité	Puisqu'une image $f(x,y)$ et sa TF $F(u,v)$ sont des signaux échantillonnés, alors $f(x,y)$ et $F(u,v)$ sont des signaux qui se répètent à l'infini.
3. Recalage cyclique	Pour que l'origine de $F(u,v)$ apparaisse au centre de l'image, il faut multiplier les pixels de $f(x,y)$ par $(-1)^{x+y}$ .
4. Convolution discrète 2D	$(f * h)(x,y) = \sum_r \sum_t f(t,r) h(x-t, y-r)$
5. Théorème de la convolution	$* \xleftrightarrow{\frac{3}{2^{-1}}} \times \quad \text{et} \quad \times \xleftrightarrow{\frac{3}{2^{-1}}} *$
6. Tomographie	$p(\xi, \theta) = \iint f(x,y) \delta(x \cos \theta + y \sin \theta - \xi) dx dy$
7. Textures	$S(r=a) = \sum_{\theta=0}^{2\pi} F(a, \theta) \quad S(\theta=\alpha) = \sum_{r=0}^R F(r, \alpha)$
8. Aliasing – repliement de spectre	$f_c \geq 2 f_{\max}$

---



---



---



---



---



---



---



---